

УДК 621.315

© 1990

МЕЖПРИМЕСНАЯ ИЗЛУЧАТЕЛЬНАЯ РЕКОМБИНАЦИЯ В КРИСТАЛЛАХ PbI_2

М. С. Бродин, В. А. Бибик, И. В. Блонский, Н. А. Даудова

На основании анализа спектров излучения донорно-акцепторных пар в слоистых кристаллах PbT_2 сделана вывод о наличии по крайней мере двух мелких донорных уровней с глубинами залегания $E_d \sim 0.020$ и $E_{d_1} \sim 0.028$ эВ от дна зоны проводимости и двух акцепторных уровней с глубинами залегания $E_{A_1} \sim 0.072$ и $E_{A_3} \sim 0.130$ эВ от дна валентной зоны.

Интерес к исследованию спектров межпрimesного излучения полупроводниковых кристаллов связан с тем, что такое исследование позволяет получать данные о мелких донорных и акцепторных состояниях, расположенных у краев соответствующих зон. Что же касается кристаллов PbI_2 , то, несмотря на большое количество работ (см., например, [1, 2]), посвященных исследованию люминесценции этих кристаллов, полосы краевого излучения с этой точки зрения специально не анализировались. В связи с этим мы провели исследование температурного поведения полос межпрimesной рекомбинации, зависимости энергетического положения полос от интенсивности накачки, а также воздействия на них излучения ионами аргона.

Исследовались кристаллы PbI_2 , относящиеся к 2Н-политипу. Источником межзонного возбуждения служило излучение ртутной лампы ДРШ-500 либо импульсное излучение азотного лазера ЛГИ-21 ($\lambda = 3371 \text{ \AA}$, интенсивность возбуждения $I_0 = 5 \cdot 10^{23} \text{ фот} \cdot \text{см}^{-2} \cdot \text{с}^{-1}$). Люминесценция исследовалась в диапазоне температур 4.5—60 К.

Типичный спектр излучения кристаллов 2Н- PbI_2 , снятый при возбуждении ртутной лампой при 4.5 К, представлен на рис. 1, 1.

В спектре люминесценции, кроме полос свободных экситонов (A), их фононных повторений ($A-A_{1g}$) и полос экситонов, связанных на нейтральных донорах (I) [3], наблюдаются полосы межпрimesной рекомбинации, соответствующие электронным переходам между донором и акцептором. Для простоты дальнейшего употребления в тексте мы обозначим максимумы наиболее характерных полос в спектре краевого излучения DA_1 ($\lambda_m = 5090 \text{ \AA}$), DA_2 ($\lambda_m = 5106 \text{ \AA}$) и DA_3 ($\lambda_m = 5215 \text{ \AA}$). Как видно из рис. 1, каждая из этих полос является структурной. Интенсивность излучения DA -полос меняется от образца к образцу, однако полосы DA_1 и DA_2 всегда присутствуют в спектре, в то время как полоса DA_3 чаще всего бывает очень слабой или вовсе отсутствует. Спектры люминесценции с доминирующей DA_3 -полосой (кривые 2, 3) в кристаллах PbI_2 встречаются крайне редко.

Наиболее характерным проявлением донорно-акцепторной природы DA -полос является сильное частотное смещение их в коротковолновую сторону в зависимости от интенсивности возбуждения. Такое смещение связано с тем, что энергия излучаемого кванта [4]

$$\hbar\nu = E_g - (E_d + E_A) + \Delta \quad (1)$$

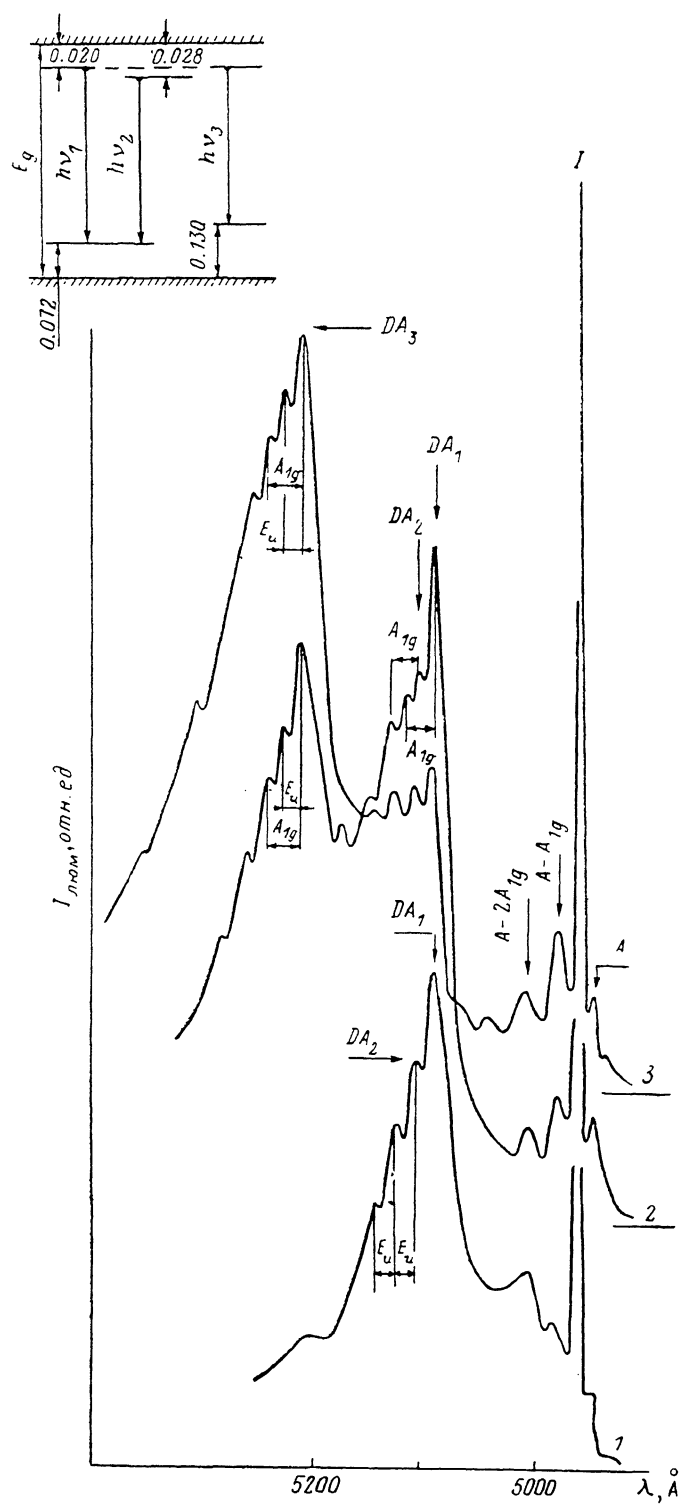


Рис. 1. Спектры излучения кристалла PbI_2 при возбуждении ртутной лампой. $T = 4.5 \text{ K}$.

На вспомогательной схеме расположение донорных и акцепторных уровней, вызывающих излучение DA пар.

определяется не только значениями ширины запрещенной зоны E_g и глубинами залегания донора E_d и акцептора E_A , но и энергией электростатического взаимодействия заряженного донора и акцептора Δ ($\Delta = e^2/\epsilon r$, где ϵ — диэлектрическая постоянная, e — заряд электрона, r — расстояние в донорно-акцепторной паре). При малой плотности возбуждения $\Delta \sim 0$, и лишь с увеличением уровня возбуждения повышается вероятность рекомбинации из близко расположенных центров. Это приводит к включению энергии электростатического взаимодействия $e^2/\epsilon r$, что и обуславливает сдвиг DA -полос с ростом интенсивности возбуждения в коротковолновую сторону.

Снятые нами спектры люминесценции в зависимости от интенсивности возбуждения приведены на рис. 2. Видно, что увеличение интенсивности в 8 раз приводит к смещению DA_1 -полосы на 17 Å (кривая 2) относительно ее положения при исходном уровне возбуждения (кривая 1). Если бы излучение соответствовало электронному переходу зона—акцептор, то мы бы не наблюдали такого сильного смещения от интенсивности возбуждения из-за того, что рекомбинация в этом случае была бы значительно быстрее и почти не зависела от расстояния. По сдвигу максимума DA_1 -полосы от значения $h\nu_1 = 2.4352$ до $h\nu_2 = 2.4457$ эВ можно оценить среднее расстояние между донорно-акцепторными парами, участвующими в рекомбинации.

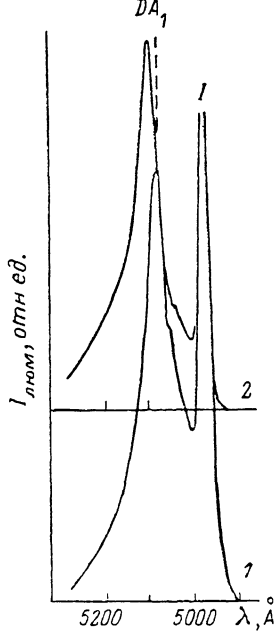


Рис. 2. Спектры излучения кристалла PbI_2 при 4.5 К при возбуждении импульсным азотным лазером в зависимости от интенсивности возбуждения I_b .

1 — $I_b = I_0$, 2 — $I_b = 81$.

Используя соотношение $h\nu_2 - h\nu_1 = e^2/\epsilon r$ ($\epsilon = 13.03$ [5]), получаем $r = 136$ Å. Оцененная из соотношения $4/3\pi r^3 N = 1$, справедливого в случае хаотического распределения пар, концентрация пар N оказывается равной $9.5 \cdot 10^{16}$ см⁻³.

Для анализа температурного поведения DA -полос мы выбрали кристаллы, в которых интересующие нас полосы были наиболее интенсивными. На рис. 3 анализируется температурное поведение DA_1 - и DA_2 -полос (а) и DA_3 -полосы (б). Как видно из рис. 3, а, полоса DA_1 имеет довольно резкую зависимость от температуры и уже при температуре 30 К практически не наблюдается в спектре (кривая 5). Это говорит о том, что переходы происходят с мелких водородоподобных центров донорного типа, расположенных у дна зоны проводимости. Аналогичную температурную зависимость имеет и полоса связанныго экситона. Это позволяет предположить, что донорный центр, на котором связывается экситон и который принимает участие в донорно-акцепторной рекомбинации, один и тот же. Глубину залегания донора, на котором связывается экситон, грубо можно оценить из соотношения

$$E_d = 13.6 \frac{m_e^*}{m_z^2} (\text{эВ}),$$

ϵ — низкочастотная диэлектрическая проницаемость, m_e^*/m — отношение эффективной массы электрона к массе свободного электрона. Подставив значения параметров $m_e^* = 0.25$ и $\epsilon = 13.03$, соответствующие кристаллу PbI_2 , получаем $E_d = 0.020$ эВ. Вообще говоря, полученное значение энергии связи несколько занижено, так как в используемом соотношении пре-

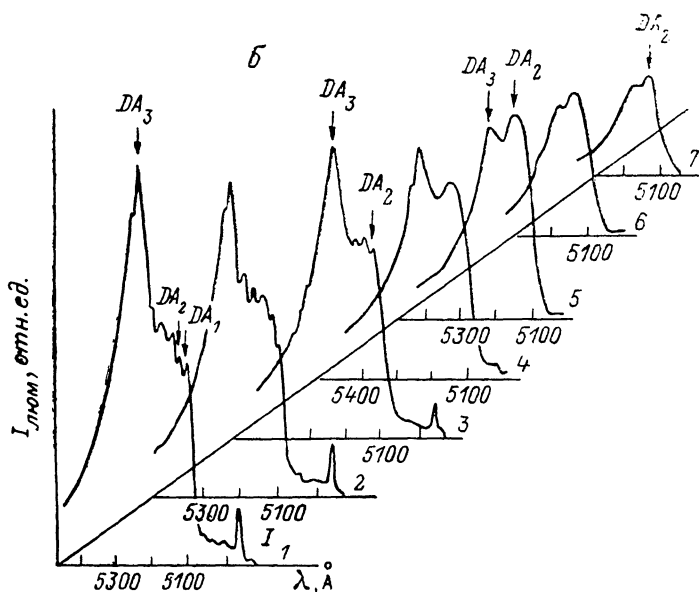
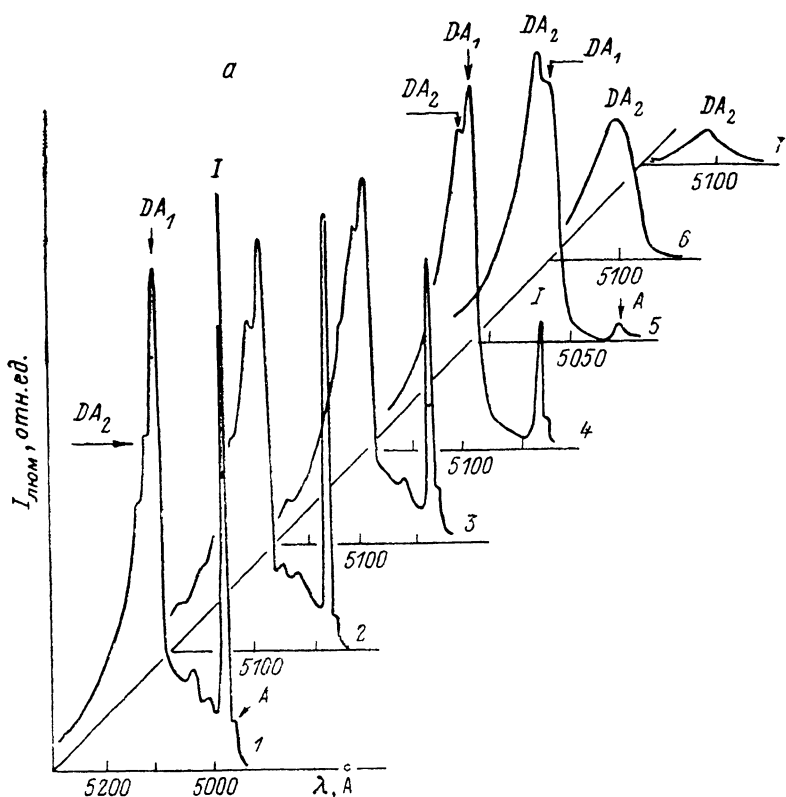


Рис. 3. Температурная зависимость интенсивности излучения кристалла PbI_2 при возбуждении ртутной лампой.

а: $T = 4.5$ (1), 10 (2), 15 (3), 20 (4), 25 (5), 30 (6), 50 (7); б: 4.5 (1), 10 (2), 15 (3), 20 (4), 25 (5), 35 (6), 40 (7).

брегалось поправками, связанными с полярными эффектами и центральной ячейкой. В предположении, что этот же донор принимает участие в донорно-акцепторной рекомбинации, обусловливающей DA_1 -полосу излучения, из соотношения (1), используя значения $E_a = 2.52725$ эВ, можно определить энергетическое положение акцептора E_{A_1} . Оно оказывается равным 0.072 эВ.

Проанализируем температурное поведение DA_2 -полосы. Из рис. 3, а видно, что в температурной области резкого гашения полосы DA_1 интенсивность полосы DA_2 практически не изменяется, а начиная с температуры ~ 30 К она становится доминирующей в спектре. В некоторых случаях наблюдается даже некоторое усиление интенсивности DA_2 -полосы в температурном интервале до 30 К. Разное поведение DA_1 - и DA_2 -полос свидетельствует о разных мелких донорных центрах, участвующих в донорно-акцепторной рекомбинации, незначительно отличающихся по глубине друг от друга. В том случае, если бы один и тот же донор принимал участие в DA_1 и DA_2 рекомбинациях, но акцепторы были бы разными, температурное поведение полос DA_1 и DA_2 было бы одинаковым из-за более глубокого расположения акцепторов. Таким образом, в предположении, что $E_{A_1} = E_{A_2}$, оцененное из соотношения (1) энергетическое положение донорного уровня оказывается равным $E_d = 0.028$ эВ. Постоянство интенсивности полосы DA_2 в температурном интервале гашения интенсивности полосы DA_1 свидетельствует о перекачке интенсивности излучения из одного канала рекомбинации (за счет термического опустошения более мелкого донорного уровня E_d) в другой. Перекачку интенсивности подтверждает и тот факт, что в тех кристаллах, в которых интенсивность полосы DA_1 была исходно малой, температурное затухание полосы DA_2 начиналось практически сразу.

При анализе температурного поведения полосы DA_3 (рис. 3, б) сразу бросается в глаза тот факт, что она имеет практически такую же резкую зависимость от температуры, как и полоса DA_1 . При температуре 25 К и выше доминирующей остается DA_2 -полоса (рис. 3, б, кривые 5—7). Однаковые температурные гашения полос DA_1 и DA_3 позволяют предположить, что донор, участвующий в обеих рекомбинациях, один и тот же, т. е. $E_{d_1} = E_{d_3} = 0.020$ эВ. Глубина залегания акцептора E_{A_3} , определенная из (1), оказывается равной 0.130 эВ.

Итак, анализ спектров краевого излучения позволяет сделать вывод о наличии по крайней мере двух мелких донорных и двух акцепторных уровней с глубинами залегания $E_{d_1} \sim 0.020$ и $E_{d_2} \sim 0.028$ эВ от дна зоны проводимости и $E_{A_1} \sim 0.072$ и $E_{A_3} \sim 0.130$ эВ от дна валентной зоны. Полученные результаты суммированы на вставке к рис. 1.

Наличие полосы DA_1 и DA_2 практически во всех без исключения кристаллах PbI_2 и неизменность их энергетического положения свидетельствуют о собственном характере центров, участвующих в DA рекомбинации. Вероятнее всего, что мелкий донорный центр, входящий в DA_1 -пару и являющийся центром связывания экситона, есть вакансия иода V_I , всегда присутствующая в кристаллах вследствие сильной летучести иода. В пользу такого предположения говорит и тот факт, что при слабом лазерном облучении кристаллов PbI_2 резко усиливается интенсивность излучения связанного экситона, что, по нашему мнению, обусловлено вылетом иода с поверхности кристалла при облучении [6]. В качестве акцептора могут выступать два собственных дефекта: либо вакансия V_{Pb} , либо иод в междоузлии. Последняя возможность, однако, менее вероятна, так как входжение иода в междоузлие из-за его большого ионного радиуса затруднительно. В качестве второго донорного центра, входящего в DA_2 -пару, может выступать межузельный Pb , который, как и вакансия иода, всегда присутствует в кристаллах PbI_2 в связи с фотохимическим разложением кристалла со временем. Что же касается природы акцептора, ответственного за DA_3 -полосу излучения, то вероятнее всего — это примесный центр, что следует из нестабильности наблюдения полосы DA_3 в спектрах краевого излучения и обычно малой ее интенсивности.

Подтверждением примесного характера DA_3 -полосы излучения служат эксперименты по облучению кристаллов PbI_2 ионами аргона (рис. 4). Действительно, в результате облучения практически исчезла из спектра краевого излучения полоса DA_3 и резко упала по интенсивности полоса DA_1 (рис. 4, 2), что может быть объяснено уходом из зоны облучения примесных атомов, участвующих в DA_3 рекомбинации, а также междузельного Pb , обуславливающего DA_2 -полосу излучения.

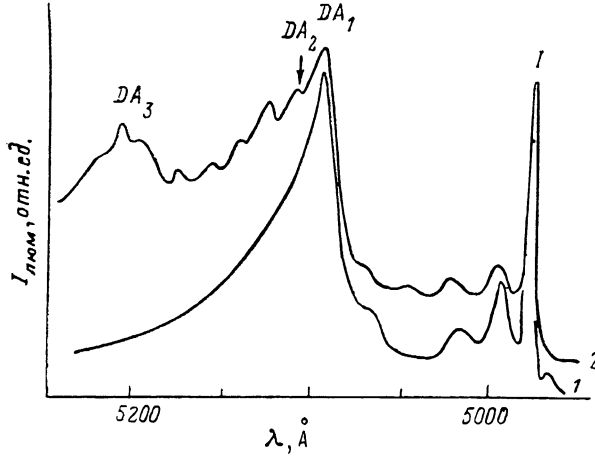


Рис. 4. Спектры излучения кристаллов PbI_2 при 4.5 К до (1) и после (2) облучения ионами аргона дозой $10^{18} \text{ см}^{-2} \cdot \text{с}^{-1}$.

Структурность DA -полос, четко наблюдаемая при низких температурах, обусловлена взаимодействием электронного перехода в донорно-акцепторной паре с колебаниями решетки. Анализ энергетического положения фононных повторений полос DA_1 , DA_2 и DA_3 (рис. 1) указывает на то, что в излучательной рекомбинации принимают участие как фононы симметрии A_{1g} (0.0125 эВ; колебание, перпендикулярное плоскости слоев), так и фононы симметрии E_u (0.0096 эВ) с вектором смещения атомов, направленным вдоль слоя.

Список литературы

- [1] Levy F., Mercier M., Voitochovcsky I. P. // Sol. St. Com. 1974. V. 15. N 9. P. 815–822.
- [2] Блонский И. В., Горбань И. С., Лютер Я. А., Губанов В. А., Попереко Л. В., Страшникова М. И. // ФТТ. 1973, Т. 15. N 12. С. 3664–3668.
- [3] Skolnic M. S., Bimberg D. // Phys. Rev. B. 1978. V. 18. N 12. Р. 7080–7088.
- [4] Van Doorn C. Z. // J. Phys. Chem. Sol. 1968. V. 29. N 4. P. 599–608.
- [5] Goto T. // J. Phys. Soc. Jap. 1982. V. 51. N 1. P. 3–4.
- [6] Бродин М. С., Бибик В. А., Давыдова Н. А. // ФТТ. 1989. Т. 31. № 2. С. 117–122.

Институт физики АН УССР
Киев

Поступило в Редакцию
3 июля 1989 г.